

# 科學研究論文彙編

第二期

上海中醫學院

1959.10.1.

## 序　　言

我們選集了 1959 年的科學研究論文中的 59 篇，彙編成冊，向偉大的國慶十周年獻禮。它是 1958 年上海中醫學院科學研究論文摘要彙編第一輯的繼續，在順序上算第二輯。

我院科學研究工作，在黨的領導下，青老年中西醫師緊密合作，共同努力，已取得了一定成就。

1959 年的選題，截至九月中旬止，已完成 112 項，其中理論機制，重點是經絡本質的探討，針灸機制的研究 26 項，臨床研究 47 項，文獻整理、著作等 81 項，其他 8 項。

經絡與針灸機制的研究，是我院的一個重點，論文也較多，雖還不能得出全面的、肯定的結論，但對今後繼續研究提供了重要的資料。臨床研究，也取得了顯著的成效，如針刺治療聾啞有效率達 84.7%，針刺治療小兒麻痹症有效率達 95.8%，推拿治療椎間盤突出有效率達 91.2%，治癒率 75%，中醫中藥治療高血壓有效率達 74.6%，中醫中藥治療矽肺，療效亦較理想，症狀改善 88.2%，肺功能恢復 85%，X 線胸片的觀察，在 28 例中有 7 例矽結節陰影及網狀陰影吸收好轉。

這些成就，是黨的正確領導，堅決貫徹了黨的中醫政策，廣大羣眾對繼承發揚祖國醫學遺產的積極性空前提高的必然產物。

1959 年的科學研究工作，無論從量或質方面來說，都有所提高，但我們並不滿足這些成果，相反的，我們應在新的基礎上，更加努力，對人民作出更大的貢獻。

因時間匆促，不及仔細地審訂、修正，錯誤之處，恐在所難免，請批評指正。

# 目 录

## 理論探討和机制研究

阴阳五行学說在临床上的应用

經絡學說的研究

針刺对加強孕妇子宮收縮的作用

灸石門穴对小白鼠生殖系統(性週期及受孕率)影响初步報告(摘要)

針刺对人心臟動作電流的影響

艾灸对高血压患者手指容积影响的初步觀察(摘要)

X綫下觀察針刺对胃蠕动的影响以及穴位選擇性問題的初步探討

正常人胃蠕动的描記及針灸对胃蠕动描記波的影响

針刺“足三里”对菟胃运动机能的影响及其机制的初步探討

12經脈循行部位及其穴位与人体結構关系的解剖觀察

✓ 手太阴肺經循行部位解剖結構的觀察

手三里穴解剖結構的觀察

关于“关元”、“三阴交”穴位臨床針刺感应和解剖結構的关系

皮肤穴位导电量与温度正常值的測定及其周身分布情况的研究

电极面积、电极与皮肤接触的压力以及接触时间的長短对皮肤穴位导电量的研究

几种經絡仪的測定(直流电阻器的設制)

皮肤电位測定器的設制

“莉蘆”經不同方法处理后的毒性和对家兔血吸虫病疗效的进一步觀察

針灸对血清中白血球数量、补体、抗体影响的初步試驗

中药对流感病毒的抑制作用

## 臨 床 研 究

高血压病的中医理論和治疗(摘要)

中医对慢性腎炎的理論机制及其治疗(摘要)

石斛銀翹湯治疗20例腎孟炎初步觀察

中医治疗慢性腎炎20例初步小結

中医中药治疗子宮頸癌的研究

25例矽肺的中医治疗

中药治疗21例支气管擴張初步疗效观察

运用中医中药治疗再生障碍性貧血的体会

中医中药对糖尿病的疗效

中医对慢性泄瀉的認識和治疗  
雷丸治疗钩虫病的初步疗效觀察  
驅钩合剂治疗钩虫病的疗效觀察  
驅钩煎剂治疗钩虫病的初步分析  
祖国医学治疗晚期血吸虫病

中医治疗小兒傳染性肝炎的临床報告  
麻疹併发肺炎临床总结

中医中药治疗急性阑尾炎和阑尾膿腫 138 例病案分析  
中医外科手法治愈慢性复发性伴有乳头內縮的乳部瘻管24例临床觀察報告  
海藻玉壺湯加減治疗癰瘤（甲狀腺腫及囊腫）33例临床觀察  
藥烘疗法治疗神經性皮炎50例初步報告

針刺治疗聾啞症 301 例的初步总结  
針刺治疗精神分裂症的临床觀察  
針刺治疗小兒麻痹症后遺症214 例的临床觀察  
針刺治疗遺尿症  
針刺治疗視神經萎縮  
針刺治疗慢性癆痛  
針刺治疗胆囊炎  
針刺治疗肺結核  
針刺治疗 127 例高血压病疗效总结  
針刺治疗癫痫61例報导  
兒科指針治疗应用子午流注法的經驗介紹  
針刺治疗視網膜色素变性  
“失眠症”的水針疗法

推拿治疗腰椎間盤突出症的临床觀察与探討

## 其 他

若干中藥中鉄、鈣与磷含量的測定  
黃芩的药理作用

肝臟疾病时血清轉氨酶活力的測定  
双缩脲反应测定血清蛋白質的研究  
蜂蠍对于腎上腺皮質的作用

檢查全院寄生虫的感染  
利用溫差電偶溫度計測定循環時間

# 皮肤电位测定器的設制

上海理疗器械研究室 上海中医学院

1959年9月

# 皮肤电位测定器的設制

楊世琦\* 曹兆麟\*\*

在反映体表(皮肤)与內臟器官的关系以及大腦某些部位与皮肤区域間的联系上，测量皮肤电位的变化比皮肤电阻的测定具有更大的优点。подшилькин的工作證明，根据皮肤电位测定所获得的图形中的各活动点与內臟器官的关系上存在着一定的规律性，而利用皮肤电阻所测得的图形中的許多点与內臟之間則沒有一定关系<sup>(1)</sup>。电位的活动是活組織代谢过程的表现，而皮肤电阻的意义仅仅說明机体对外加电流通过組織时所表現的一种特性，只能以間接的形式来标誌着皮肤中所发生的变化。由于电流通过机体时的刺激作用将会改变組織原来的电阻<sup>(2)</sup>，因此测量皮肤电阻所觀察到的現象中包括着皮肤对外加刺激所发生的反应。苏联工作者曾报导，皮肤活动点的分布与部分針灸穴位的所在部位有着一致性的关系。活动点不仅与一定的內臟而与筋腱也有着一定的連系<sup>(3)</sup>。

一般测定皮肤电位的方法系利用乏极化电极將皮肤間的兩点直接連接至一高灵敏度的反光鏡檢流計( $2 \times 10^{-9}$  安培)，按照光点偏轉的讀数表示电位的大小<sup>(4)</sup>。这种测定的方法有着一定的缺点：(1) 由于檢流計的內阻很低，一般仅数百至数千欧姆，比起被測定的兩点間的皮肤电阻要低得多，因此所测得的值比真正的电位要低。(2) 当皮肤电阻发生改变时(而实际的电位沒有改变)，檢流計偏轉的讀数也会随着而改变，因此所测得的結果，在一定程度上受到了皮肤电阻变化的影响，不能完全反映真正的皮肤电位值。

人体的皮肤电位值約數毫伏至數十毫伏，其性質为一种变化很慢的直流电压，使用适当的乏极化电极(如甘汞电极或氯化銀电极)配合电子管毫伏計即可測定。要制成一只灵敏度較高，工作很稳定的电子管直流毫伏計，不論在設計的結構上和設用元件的选择上都必須具备一定的要求和条件才能得到較好的效果。在設制的过程中下列數点是值得考慮的。

一、輸入阻抗：人体皮肤电阻約數千至數万欧姆左右，如果所选用的毫伏計輸入阻抗太小，測量的讀数将会降低。

設  $E$  = 人体电位， $R$  = 人体皮肤电阻， $\gamma$  = 毫伏計的輸入阻抗， $V$  = 測得的讀数(見图1)。

$$V = E \left( \frac{\gamma}{R + \gamma} \right)$$

由上式推断， $R$ 愈小 $\gamma$ 愈大，即  $\frac{\gamma}{R + \gamma}$  之值愈近于1时， $V$  将愈近于  $E$ 。如要使  $V = E$ ，則除非  $R = 0$  或  $\gamma = \text{无穷大}$ ，但这两种情况都不可能达到，唯一的办法是使  $\gamma$  与  $R$  之比达到相当的倍数，例如：

$\gamma = 10R$  即  $\gamma$  为  $R$  的10倍。

$$\text{则 } V = E \cdot \frac{10R}{R + 10R} = E \cdot \frac{10}{11} = 0.909E$$

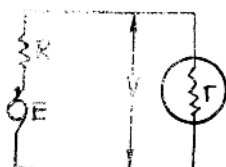


图 1

測量的讀數  $V$  將為真實電位的 90% 左右，如過  $\gamma$  的提高  $\gamma$  与  $R$  的比值，當然可使讀數更接近于真實電位。若考慮到儀器本身的準確度，所選用的電子管的性能以及實驗本身的要求等方面， $\gamma$  与  $R$  的比值究竟需要多大，值得探討。如果毫伏計的輸入阻抗已知，人体皮膚電阻亦為已知，則讀數可乘一校正系數  $K$  而求得真實電位：

$$\text{即 } \mathbf{E} = \nabla \cdot \mathbf{K}$$

$$\text{校正系数} \quad K = \frac{R + \gamma}{\gamma}$$

阻抗比值 ( $r/R$ )	1	2	3	4	5	10	15	20	30	40	50
校正系数 (K)	2	1.5	1.33	1.25	1.2	1.1	1.066	1.05	1.033	1.025	1.02

阻抗比值与修正系数K的关系见图2。

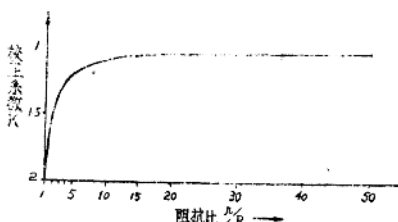


图 2 明执比与校正系数K的关系

由图2曲线及数据看来，当 $\gamma/R$ 由10至20时，曲线基本已平坦，所测得的读数与真实电位值基本相接近，也就说明再增高阻抗比值 $\gamma/R$ 虽然能使所测得的读数更接近于真实电位，但以仪器本身的准确度及实验本身的要求而言已无多大意义，徒然增加制造困难。

不論从理論上或實際工作經驗上來看，阻抗比值在10—20之間基本上已符合皮膚電位測定的要求。于設計時以最高皮膚電阻值計算，因此當遇較低的皮膚電阻值時則更為準確。

二、稳定性：电子管毫伏计必须零点稳定，放大倍数不因电源的变化而有所改变，同时能供长时间的观察与实验用而不至中途发生故障。

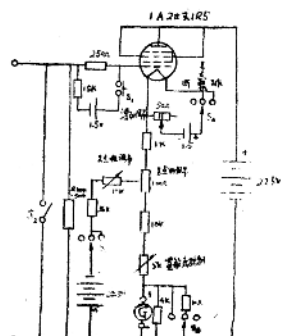
三、极性問題：皮肤上电位由于所测定的部位不同和机体状态不同，有时可以表现正电位，有时则为负电位，因此为了便利观察，零点必須在中心。

四、制造简单，使用准确，所选用的元件必须市面能供应的国产材料，以便于在临床与研究工作上广泛应用。

根据以上提出的要求我們制成了 一只較实用的皮肤电位测定器，其线路結構見圖 2。

S<sub>4</sub>: 通断灯丝由油

**S<sub>B</sub>**: 电源断路时浪流计短路，粗调时使10欧姆电阻



四〇

与检流计并连以保护检流计，在工作时使4K电阻与检流计并连获得适宜的阻尼时间。

S<sub>c</sub>: 通断另点平衡电池。

S<sub>t</sub>: 校正揿扭，通时有25毫伏电压加于栅极作校正之用。

漂移调节：调节灯丝电流使光点稳定。

灵敏度调节：电位器（5K）配合25毫伏校正电压来控制灵敏度，以达到满刻度而便于读数，电位器阻值小则灵敏度高，反之则低。

零点粗调：调节10K电位计的电阻使检流计两端的电位相等。

零点细调：调节100欧姆电位器使检流计两端电位相等。

该仪器中的主要元件包括电子管1A2II（或1R5） $3.1 \times 10^{-8}$ Amp 反光镜检流计和其他元件都是国产材料。灯丝电源与屏极电源都利用干电池供给，由于所选用的电子管1A2II为省电式电子管，其耗电量很少，因此在较长时期的使用时电源电压，改变不会很大，因而保证了该仪器工作时的稳定性。在设计时采用低的屏极电压和较高的阴极电阻，以便于减低杂音水平和增加工作时的稳定性，本线路的结构系采用负反馈原理，如图4所示，当电压e<sub>g</sub>加于栅极时，屏流发生变化，i<sub>P</sub>在R两端产生电压降，e<sub>c</sub>与加入的讯号相位相反，回输给栅极，当R足够大时，屏流变化  $i_P \approx \frac{e_g}{R}$ ，基本上与电子管的特性及所用的电源无关，故而可获得很高的稳定性，如有过荷的讯号加入于栅极时，由于负反馈作用，屏流不至于过大，保证了检流计的安全，并且增加了使用的可靠性。在图4中仅有单向屏流，检流计光点将不在零点，另加另点平衡电池及可变电阻R如图5所示，则得到一反向电流，以控制光点位于另点，光点于另点时I<sub>P</sub>=I<sub>V</sub>。

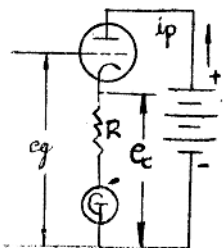


图 4

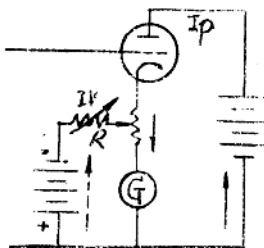


图 5

在制作的过程中应该注意：(1) 由于电子管1A2II性能上的个别差异，制作时挑选一只质量较好的，可以增加该仪器的效能。关于栅极电阻即输入阻抗问题在使用1A2II时约在100K至500K的范围内，其值依电子管的栅流大小而定，当图3 S<sub>2</sub>短路时，如果栅流小另点不变，如果栅流大另点发生移动，此时可适当的减低栅极电阻数。(2) 一只新的电子管性能往往不是很稳定的，因此经过一较长时间的使用后该仪器的效能能表现得更好。(3) 关于电源问题，乙电池用45伏大号电池，中心有22.1/2伏插头，可作接地。甲电池按照1A2II的灯电压值为1.2伏，如果使用大号空气电池（其电压1.85伏）效果比1.5伏的大号电话电池更好。(4) 机械结构须较坚固，灯座最好有防震装置，以减少微音效应。

## 结 言

要制成一只灵敏度较高，工作很稳定用来测定皮肤电位的电子管直流毫伏计，不论在设

計的結構上和使用元件的選擇上都必須具備一定的條件和要求，才能得到較好的效果。我們所製制的皮肤电位测定器全部元件都是国产的，所使用的材料較少，同时工作性能上能滿足一般的實驗性研究的需要。在設制上采用了阴极平衡电路的裝置和負反饋的原理，以保証該仪器較高的稳定性。

### 參 考 文 獻

1. Подшивкин, А. К.: Схемы Распределения Активных Точек Кожи. Вопрос Физиологии №. 9, 127. 1950.
2. Richter, C. P.: Physiological Factors Involved in the Electric Resistance of the Skin. Am. J. Physiol., Vol. 15, P. 235, 1925.
3. 邰榮棟：有关皮肤活动点的一些資料 生理学进展，第二卷，6頁，1958.